

## بررسی پترولوری و محیط تکتونوماگمایی سنگ‌های آتشفشاری آشتیان

رضا زارعی سهامیه: دانشگاه لرستان، دانشگاه آزاد اسلامی واحد آشتیان  
هادی طبی و محمود جلالی: دانشگاه آزاد اسلامی واحد آشتیان، گروه زمین‌شناسی

### چکیده

منطقهٔ پژوهش در استان مرکزی در ۲۳۵ کیلومتری جنوب باختری تهران واقع شده است و بخشی از چهارگوش قم است. از نظر سنگ‌شناسی سنگ‌های آتشفشاری بخش اعظم منطقه را در بر گرفته‌اند که عمدها در شمال خاوری و خاور آشتیان بروندند. سنگ‌های آتشفشاری مورد نظر دارای ترم‌های مختلف سنگی شامل آندزیت بازالت، آندزیت، تراکی آندزیت، داسیت، ریوداسیت و رویولیت است. به لحاظ سنی، سنگ‌های فوق متعلق به اتوسن (لوتسین میانی تا پایانی) هستند که در امتداد کمربند آتشفشاری ارومیه- دختر قرار گرفته و شامل شش عضو E6 تا E1 در ناحیهٔ تفرش و آشتیان هستند. سنگ‌های پلوتونیک مربوط به الیگومیوسن هستند و سنگ‌های قدیمی‌تر از ترباس در منطقه دیده نمی‌شود. سنگ‌های آتشفشاری اعم از گدازه و توف گستره وسیعی از منطقه را پوشانده است. فوران‌های آتشفشاری در هر دو محیط خشکی و دریابی صورت گرفته است که ایگمبریت‌ها و توفیت‌ها معرف آن هستند. از نظر حجمی، فوران‌های اسیدی و حد واسطه بر فوران‌های بازیک برتری دارند. ضمناً سنگ‌های ماگمایی به با دایک‌های متعددی قطع شده‌اند. به لحاظ کائینات‌شناسی سنگ‌های مزبور دارای پلازیوکلاز، فلدسپات‌الکالان، کوارتز، کلینوپیروکسن، آمفیبول و بیوین نیز به مقدار کم در سنگ‌های آندزیت بازالتی دیده می‌شود. پلازیوکلاز‌ها دارای ساخت منطقه‌ای و آمفیبول‌ها دارای حاشیه سوخته هستند که این پدیده نشانه دمای زیاد ماگمای سازنده است. از نظر ژئوشیمیایی، پتروگرافی و پترولوری، تغییرات عناصر اصلی، عناصر کمیاب و ضریب تفریق نسبت به سیلیس بررسی شده که همگی پدیده تقریق از طریق تبلور بخشی برای پیدا شدن سنگ‌ها را تأیید می‌کند. براساس نمودارهای پترولوریک سنگ‌های ماگمایی دارای ماهیت کالکو‌الکالان هستند. همچنین با استفاده از نمودارهای جدا کننده محیط زمین‌ساختی سنگ‌های آتشفشاری مورد نظر در گسترهٔ نواحی فرورانش قرار گرفته و متعلق به کمربند آندزیت‌های کوه‌ای‌اند. نمودار عناصر کمیاب این سنگ‌ها بررسی شده است که از جمله بی‌هنجری‌های موجود در این نمودارها مربوط به عناصر استرانسیم و نیوبیوم است. همچنین بررسی الگوی پراکنده عناصر نادر خاکی، تشکیل ماگمای کالکو‌الکالان را از یک گداز بخشی گوشته فرقانی پیشنهاد می‌کند.

واژه‌های کلیدی: ولکانیسم، آندزیت، آشتیان، حاشیه قاره، کالکو‌الکالان

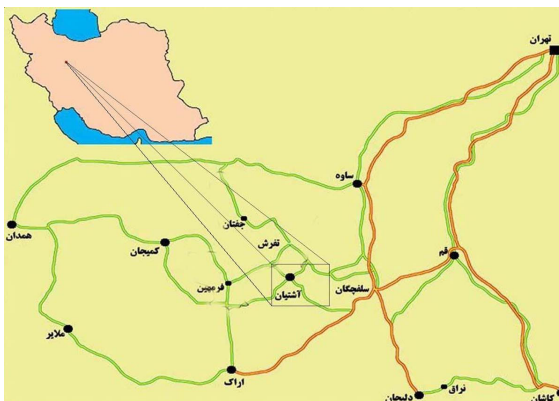
دریافت ۸۷/۶/۲۴ پذیرش ۸۷/۱۲/۲۱

Zareisah@yahoo. Com

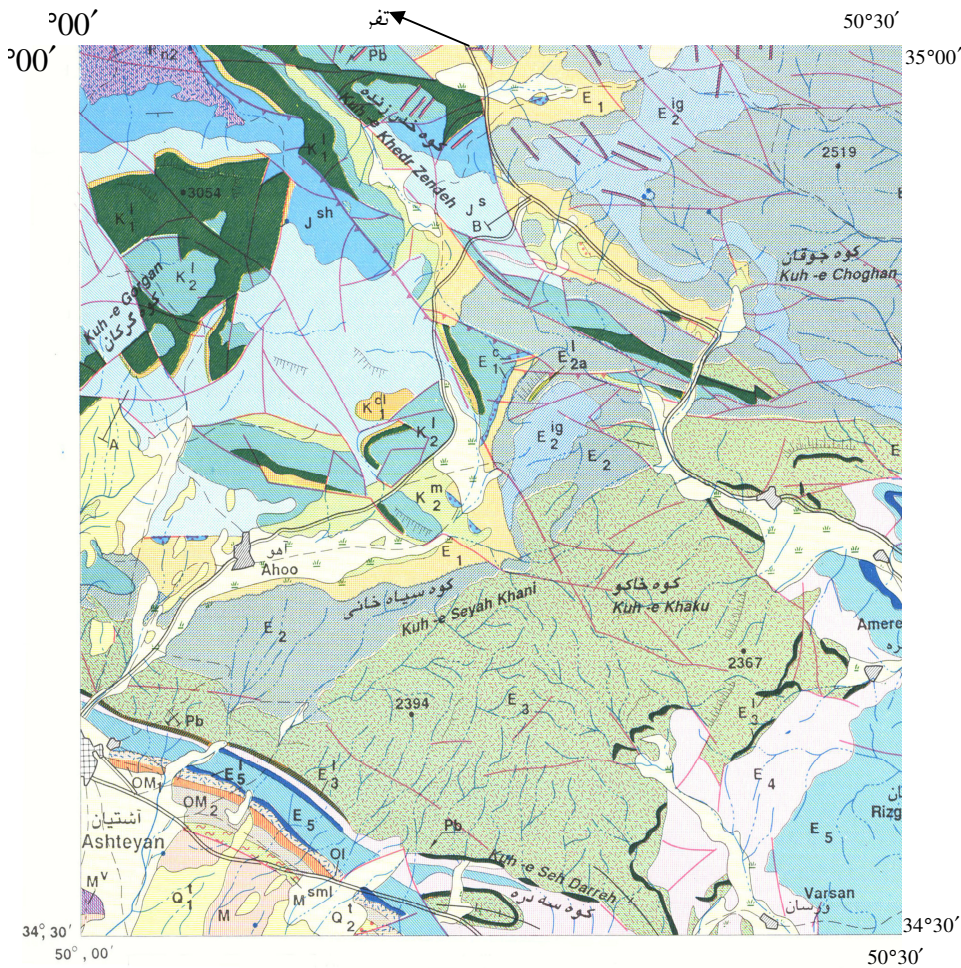
## مقدمه

سنگ‌های آتشفانی بررسی شده در شمال خاوری و خاور آشتیان در ۲۳۵ کیلومتری جنوب باختری تهران قرار گرفته و دارای مختصات جغرافیایی  $50^{\circ}18' \text{ طول شرقی}$  و  $34^{\circ}33' \text{ عرض شمالی}$  است. بیشترین بروزنزد این سنگ‌ها در نواحی آهو، جاده آشتیان تقرش، نهر علی نقیبیک و سلفچگان دیده می‌شود. سنگ‌های یاد شده در چهارگوش قم در بخشی از زون ایران مرکزی و در امتداد کمربند آتشفانی ارومیه-دختر واقع شده اند. ناحیه پژوهشی دارای ساختارهای ساده‌گسلی و چین‌خوردگی با روند کلی شمال باختری-جنوب خاوری و شمال-جنوب است که نقش عمده‌ای در تکوین زمین‌شناسی منطقه بهخصوص کنترل حوضه‌های رسوی و فرایندهای آتشفانی داشته است به گونه‌ای که فوران‌های آتشفانی احتمالاً ناشی از حرکات گسل‌ها نسبت به هم و بهخصوص حرکات کششی بوده است که طی زمان‌های مختلف از ائوسن تا میوسن صورت گرفته و مشابه آن در سایر مناطق ایران نظیر تفت و خضرآباد [۱۳] نیز دیده می‌شود. بروزنزدهای سنگی در محدوده پژوهش متعلق به مزوزوییک و سنزوزوییک است و سنگ‌های قدیمی‌تر از تریاس وجود ندارد [۳]. کهن‌ترین رسویات ترشیری در منطقه متعلق به ائوسن زیرین است [۱]. نهشته‌های ائوسن شامل سنگ‌های رسوی، آذر آواری و جریان‌های گدازهای با بیش از ۳۰۰۰ متر ضخامت است که به شش لیتوزون E1 تا E6 تقسیم می‌شود. فوران‌های آتشفانی در هر دو محیط خشکی و دریایی صورت گرفته است که ایگنبریت‌ها و توفیت‌ها معرف آن هستند. از نظر حجمی فوران‌های اسیدی و حد واسطه بر فوران‌های بازیک برتری دارند. موقعیت جغرافیایی آشتیان و راه‌های دسترسی به آن در نقشه ایران نشان داده شده است (شکل ۱).

تاکنون نقشه زمین‌شناسی چهارگوش قم با مقیاس ۱:۲۵۰۰۰، نقشه زمین‌شناسی تقرش با مقیاس ۱:۱۰۰۰۰ و نقشه زمین‌شناسی فرمهین با امامی و حاجیان [۲] تهیه کرده‌اند؛ ولی نقشه زمین‌شناسی آشتیان تاکنون تهیه نشده است. با این حال بخش‌هایی از منطقه آشتیان در نقشه‌های زمین‌شناسی ۱:۱۰۰۰۰ تقرش و فرمهین آمده است (شکل ۲).



شکل ۱. موقعیت آشتیان و راه‌های ارتباطی منطقه پژوهش در این شکل نشان داده شده است



شکل ۲. نقشه زمین‌شناسی تفرش با مقیاس ۱:۱۰۰۰۰۰ که منطقه آشتیان بر روی آن نشان داده شده است  
( حاجیان، ۱۹۷۰ )

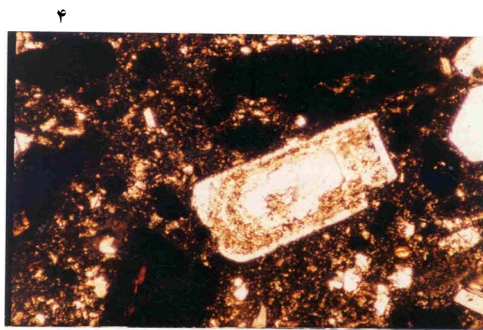
### روش کار

برای بررسی سنگ‌های آتشفشاری در چند ناحیه جدآگانه نمونه‌برداری صورت گرفته و حدود ۲۰۰ نمونه سنگی جمع‌آوری شده است. سپس مقطع نازک از آن‌ها تهیه شد و پس از بررسی‌های میکروسکوپی و سنگ‌شناخی ۲۰ نمونه سنگی نادگران انتخاب و به روش‌های XRF ، XRD و EPMA تجزیه شیمیایی شد. برای تجزیه و تحلیل نتایج حاصل از تجزیه شیمیایی نمونه‌ها از نرم افزارهای newpet ، Minpet ، igpet و GCDkit جهت رسم نمودارهای مختلف استفاده شده است.

سنگهای آتشفشاری بر اساس بررسی‌های سنگشناختی و داده‌های ژئوشیمیایی و با توجه به بررسی‌های میکروسکوپی دارای ترم‌های مختلف بوده که به صورت آذرآواری و گدازه در مناطق مختلف بروزنزد دارند. در جدول ۱ نتایج تجزیه شیمیایی نمونه‌ها آورده شده است.

چنان‌که در مقدمه گفته شد، سنگ‌های آتشفشاری منطقه آشتیان به صورت گدازه و آذرآواری در مناطق مختلف بروزنزد دارند. به لحاظ پتروگرافی بافت عمد سنگ‌های بررسی شده در ناحیه آشتیان پورفیری، پورفیری میکرولیتی، میکرولیتی و بعضی غربالی [۹] در یک زمینه شیشه‌ای و یا ریزبلور است. کانی‌های عمد تشکیل دهنده سنگ‌ها پلازیوکلاز (اغلب شکل‌دار تا نیمه شکل‌دار با ساخت منطقه‌ای)، فلدسپات آکالان، کوارتز (گاهی حاوی خورنگی خلیجی شکل) هورنبلند (با حاشیه سوخته)، بیوتیت و به مقدار کمتر پیروکسن و الیوین است. در اکثر سنگ‌ها آمفیبیول با حاشیه کاملاً سوخته دیده می‌شود که این پدیده حاکی از دمای زیاد ماگمای سازنده سنگ‌های آتشفشاری در هنگام خروج بوده است. بافت غربالی در پلازیوکلازها گمان اختلاط ماگمایی در بعضی از موارد را تقویت می‌کند.

پیروکسن به همراه هورنبلند و بیوتیت عمدترین کانی‌های مافیک سنگ را شامل می‌شود. کانی‌های ثانویه موجود در سنگ‌ها شامل کلسیت، کلریت، زئولیت و اکسیدهای آهن مثل لیمونیت، هماتیت و منیت است. آغشتنگی‌های اکسیدهای آهن در بیشتر سنگ‌ها دیده می‌شود. شکل ۳ و ۴ بافت بعضی از سنگ‌ها را نشان می‌دهد.



شکل ۴. بلورهای پلازیوکلاز با بافت غربالی در سنگ‌های داسیتی منطقه آشتیان (5X10 (XPL)



شکل ۳. بلورهای هورنبلند با حاشیه سوخته در آندزیت‌های منطقه آشتیان (5X10 (XPL)

ضمناً برای تشخیص دقیق ترکیب شیمیایی کانی‌های سازنده سنگ‌های آتشفشاری تعدادی از آن‌ها تجزیه میکروپروب شده‌اند. نتایج میکروپروب سه نوع از کانی‌های پیروکسن، آمفیبیول و پلازیوکلاز [۱] در جدول‌های ۲، ۳ و ۴ ارائه شده است.

جدول ۱. نتایج حاصل از تجزیه شیمیایی سنگ‌های آتشفشاری منطقه آشتیان، عناصر اصلی بر حسب درصد وزنی و عناصر کمیاب بر حسب پ.پی.ام.

sample name	Symbol	Colour	SiO <sub>2</sub>	TiO <sub>2</sub>	Al <sub>2</sub> O <sub>3</sub>	Fe <sub>2</sub> O <sub>3</sub>	FeO	MnO	MgO	CaO	Na <sub>2</sub> O	K <sub>2</sub> O	P <sub>2</sub> O <sub>5</sub>	LOI	Ba	Rb	Sr	Y	Zr	Nb
AB1	17	1	51.78	0.75	19.98	3.08	0.92	0.28	4.64	8.35	2.91	1.35	0.45	1.98	238	66	202	27	72	8
AE12	18	1	52.44	0.1	20.91	4.59	3.41	0.19	1.8	10.21	2.78	0.95	0.99	0.65	388	105	269	22	139	10
MB2	18	1	53.67	0.56	21.37	2.07	4.43	0.17	6.61	4.78	3.37	0.57	0.07	1.22	631	124	168	23	230	28
AS4	18	1	55.26	0.9	18.21	1.3	6.98	0.16	3.4	5.65	4.99	1.58	0.31	0.67	372	153	133	24	149	11
AE7	18	1	55.99	1.31	12.65	11.23	2.92	0.35	2.89	5.44	2.15	2.17	0.06	2.03	596	128	263	31	115	12
AB2	14	1	57.27	0.51	18.4	2.02	4.22	0.15	3.65	7.1	3.41	1.94	0.18	1.02	80	41	27	28	148	13
MB5	14	1	58.85	0.37	19.64	1.88	3.91	0.22	1.65	7.01	3.34	0.94	0.21	1.35	408	157	125	20	128	10
AE18	14	1	59.35	0.49	15.96	2.03	3.95	0.14	1.33	8.7	2.99	2.41	0.13	1.55	361	78	231	30	58	10
AS1	14	1	60.92	0.96	17.45	2.6	2.47	0.08	2.31	5.7	4.52	1.1	0.18	0.83	404	167	239	21	137	11
AE15	14	1	61.42	0.84	14.61	3.83	2.75	0.12	2.14	5.36	3.53	2.36	0.12	1.35	372	111	261	23	5	12
AE1	14	1	61.44	0.88	14.66	3.85	2.78	0.11	2.09	5.38	3.55	2.3	0.15	1.76	242	103	299	20	117	8
AE98	10	1	63.32	0.55	16.25	2.12	2.13	0.11	2.65	5.81	3.2	2.1	0.12	1.58	236	79	197	18	78	7
AB40	10	1	64.36	0.45	16.88	1.99	1.16	0.08	2.15	5.32	2.73	2.84	0.19	0.87	320	129	122	23	178	32
AE21	10	1	64.41	0.62	14.73	0.52	2.65	0.13	1.41	8.71	3.61	0.61	0.13	1.25	407	107	347	22	164	10
AE88	10	1	65.21	0.71	16.6	2.28	2.13	0.06	2.99	2.79	2.93	1.89	0.18	1.36	296	67	334	18	90	13
AE40	12	1	66.12	0.41	16.41	1.92	1.58	0.08	1.89	2.93	4.52	2.25	0.21	0.95	454	101	388	2	176	9
AB12	12	1	67.93	0.39	16.42	2.65	2.31	0.07	0.82	0.44	5.42	2.38	0.19	0.95	39	189	28	60	82	9
AB88	12	1	68.23	0.26	15.33	2.69	2.21	0.12	0.54	0.39	4.87	2.36	0.21	1.02	399	146	229	19	117	11
AE25	12	1	71.22	0.23	15.41	1.65	0.68	0.12	1.52	0.97	3.24	3.45	0.21	0.87	355	88	347	23	162	12
AB98	12	1	71.24	0.21	15.42	1.63	0.67	0.13	1.53	0.98	3.21	3.47	0.25	0.98	276	64	114	3	106	10

## ادامه جدول ۱

sample name	Th	Ga	Zn	Ni	V	Cr	Hf	Cs	Ta	Co	U	Sn	La	Ce	Nd	Sm	Eu	Gd	Yb
AB1	5	18	114	103	274	690	2	4	1	37	1	2	20	51	24	5	1	5	3
AE12	7	17	62	57	144	260	5	7	1	22	2	2	19	44	21	5	1	5	3
MB2	32	20	79	20	27	10	6	1	3	55	6	4	60	102	30	5	1	5	3
AS4	13	17	47	8	11	110	5	5	1	4	3	4	25	5	20	4	1	4	3
AE7	24	18	70	53	144	280	4	6	1	21	3	3	68	147	49	8	1	8	4
AB2	23	15	10	12	31	20	5	1	2	55	2	2	52	94	36	6	1	6	3
MB5	11	17	39	9	11	80	4	5	20	4	3	4	20	41	15	3	1	4	2
AE18	5	18	58	49	150	320	4	5	1	24	3	2	16	42	24	5	1	5	3
AS1	20	17	35	12	29	20	4	6	2	54	3	2	40	77	29	5	1	5	2
AE15	13	19	69	63	148	330	5	8	1	23	2	2	34	72	29	6	1	6	3
AE1	4	19	96	37	176	260	4	10	1	20	3	5	13	33	15	4	1	4	2
AE98	5	16	63	86	217	490	2	3	1	32	2	1	17	40	16	4	1	4	2
AB40	31	19	30	7	17	10	5	1	31	54	6	3	43	75	23	5	1	5	3
AE21	11	18	68	115	170	420	5	10	1	48	2	6	30	56	24	5	1	5	2
AE88	7	19	79	38	168	150	3	4	1	55	2	3	19	44	20	5	1	4	2
AE40	10	20	118	101	210	450	5	5	1	29	3	4	24	50	22	5	1	4	2
AB12	19	16	16	7	3	130	4	4	2	2	4	3	7	18	10	4	1	6	7
AB88	15	17	29	11	24	20	4	3	2	33	3	2	33	65	24	5	1	4	2
AE25	9	22	127	25	204	360	5	6	1	28	3	3	27	58	25	5	1	5	3
AB98	16	17	13	13	23	150	4	2	1	4	3	3	33	64	22	5	1	4	3

**جدول ۲. تجزیه الکترون میکروپرورب پیروکسن موجود در سنگ‌های آندزیتی منطقه آشتیان  
محاسبه کاتیون‌ها بر مبنای ۶ اکسیژن صورت گرفته است**

نوع پیروکسن	اکسیدها	SiO <sub>2</sub>	TiO <sub>2</sub>	Al <sub>2</sub> O <sub>3</sub>	Cr <sub>2</sub> O <sub>3</sub>	Fe <sub>2</sub> O <sub>3</sub>	Mn O	Mg O	Ca O	Na <sub>2</sub> O	K <sub>2</sub> O	Total
اوژیت	درصد وزنی	50.4	1.57	6.98	0.14	11.2	0.42	16.9	11.4	1.64	0	100
	نوع کاتیون‌ها	Si	Al4	Al6	Cr	Fe	Ti	Mg	Mn	Ca	Na	K
	تعداد کاتیون‌ها	1.86	0.14	0.16	0	0.345	0.04	0.88	0.01	0.45	0.12	0
												26.8
												52.6
												20.6

**جدول ۳. تجزیه الکترون میکروپرورب آمفیبول موجود در سنگ‌های آندزیتی منطقه آشتیان  
محاسبه کاتیون‌ها بر مبنای ۲۴ اکسیژن صورت گرفته است**

نوع آمفیبول	اکسیدها	SiO <sub>2</sub>	TiO <sub>2</sub>	Al <sub>2</sub> O <sub>3</sub>	FeOt	MnO	MgO	CaO	Cr <sub>2</sub> O <sub>3</sub>	Na <sub>2</sub> O	K <sub>2</sub> O	F	Cl	Total
هورنبلد	درصد وزنی	45.2	0.42	12.1	12.1	0.07	13.9	11.9	0.18	1.05	0.39	0.12	0	97.52
	نوع کاتیون‌ها	Si	Al4	Al6	Ti	Fe	Mg	Mn	Ca	Cr	Na	K	F	Cl
	تعداد کاتیون‌ها	6.88	1.12	1.05	0.05	1.54	3.14	0.01	1.95	0.02	0.31	0.07	0.06	0

**جدول ۴. تجزیه الکترون میکروپرورب یک نمونه از پلازیوکلاز سنگ‌های تراکی آندزیتی منطقه آشتیان  
محاسبه کاتیون‌ها بر مبنای ۳۲ اکسیژن صورت گرفته است**

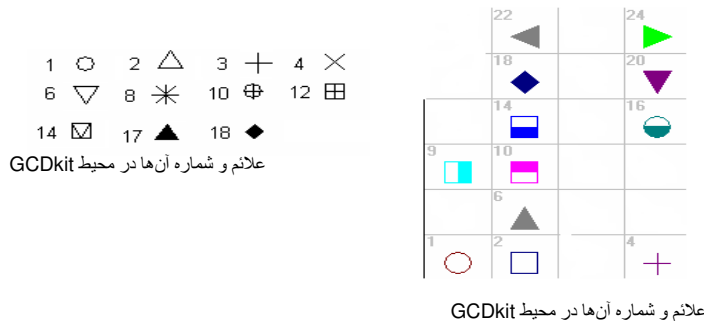
اکسیدها	SiO <sub>2</sub>	TiO <sub>2</sub>	Al <sub>2</sub> O <sub>3</sub>	FeOt	MgO	CaO	Na <sub>2</sub> O	K <sub>2</sub> O	Total	نوع پلازیوکلاز
درصد وزنی	55.9	-	28.17	0	0	10.1	5.63	0.15	99.94	آندزیت (فنوکریست)
کاتیون‌ها	Si	Al	Fe	Mg	Na	Ca	K	Ab	An	
تعداد کاتیون‌ها	10.1	5.97	0	0	1.95	1.94	0.03	49.7	49.5	
اکسیدها	SiO <sub>2</sub>	TiO <sub>2</sub>	Al <sub>2</sub> O <sub>3</sub>	FeOt	MgO	CaO	Na <sub>2</sub> O	K <sub>2</sub> O	Total	نوع پلازیوکلاز
درصد وزنی	60.8	-	24.79	0.18	0	5.15	8.21	0.44	99.58	الیگرکلاز (میکروفورکریست)
کاتیون‌ها	Si	Al	Fe	Mg	Na	Ca	K	Ab	An	
تعداد کاتیون‌ها	10.9	5.21	0.027	0	2.83	0.98	0.1	72.3	25.1	

تجزیه میکروپرورب نشان می‌دهد که پیروکسن‌ها در سنگ‌های بازیک از نوع اوژیت و آمفیبول‌ها از نوع هورنبلد است که ضمناً غنی از منیزیم و آهن هستند. پلازیوکلازها اعم از فنوکریست و میکرولیت در سنگ‌های تا حد واسط از نوع اسیدی الیگرکلاز - آندزین هستند.

به منظور تعیین دقیق نوع سنگ‌های آتششانی منطقه آشتیان پس از بررسی‌های میکروسکوپی و شناسایی کانی‌ها از طبقه‌بندی‌های شیمیایی نیز استفاده شده است. بر این اساس، ترم‌های مختلف سنگی شامل آندزیت بازالت، آندزیت، تراکی آندزیت، داسیت، ریوداسیت و ریولیت است. شماره نمونه‌ها، شماره علامت و شکل آن‌ها و معیار دسته‌بندی نمونه‌ها بر اساس نرم‌افزارهای GCDkit و Minpet در جدول ۵ و شکل ۳ مشخص شده است.

جدول ۵. شماره نمونه‌ها، شماره علامت و معیار دسته‌بندی نمونه‌ها در این جدول مشخص شده است

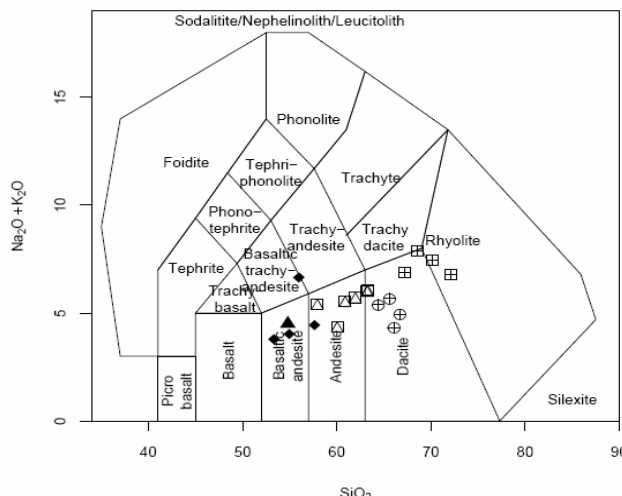
شماره نمونه	شماره سیمبل نمونه‌ها	معیار دسته‌بندی نمونه‌ها	شماره سیمبل نمونه‌ها در محیط GCDkit	نر می‌پرینت نمونه‌ها
AB1	17	SiO <sub>2</sub> <52 %	6	
AE12	18	52 % <SiO <sub>2</sub> <57%	18	
MB2	18	52 % <SiO <sub>2</sub> <57%	18	
AS4	18	52 % <SiO <sub>2</sub> <57%	18	
AE7	18	52 % <SiO <sub>2</sub> <57%	18	
AB2	14	57 % <SiO <sub>2</sub> <62%	22	
MB5	14	57 % <SiO <sub>2</sub> <62%	22	
AE18	14	57 % <SiO <sub>2</sub> <62%	22	
AS1	14	57 % <SiO <sub>2</sub> <62%	22	
AE15	14	57 % <SiO <sub>2</sub> <62%	22	
AE1	14	57 % <SiO <sub>2</sub> <62%	22	
AE98	10	62 % <SiO <sub>2</sub> <66%	1	
AB40	10	62 % <SiO <sub>2</sub> <66%	1	
AE21	10	62 % <SiO <sub>2</sub> <66%	1	
AE88	10	62 % <SiO <sub>2</sub> <66%	1	
AE40	12	SiO <sub>2</sub> >66 %	2	
AB12	12	SiO <sub>2</sub> >66 %	2	
AB88	12	SiO <sub>2</sub> >66 %	2	
AE25	12	SiO <sub>2</sub> >66 %	2	
AB98	12	SiO <sub>2</sub> >66 %	2	
M silurian	8			16
N MORB	6			20
WP	2			14
SVZ calc-alkal	4			10
CVZe ANDES	5			7
CVZw ANDES	1			9
NVZa ANDES	11			4
St Andes	3			24



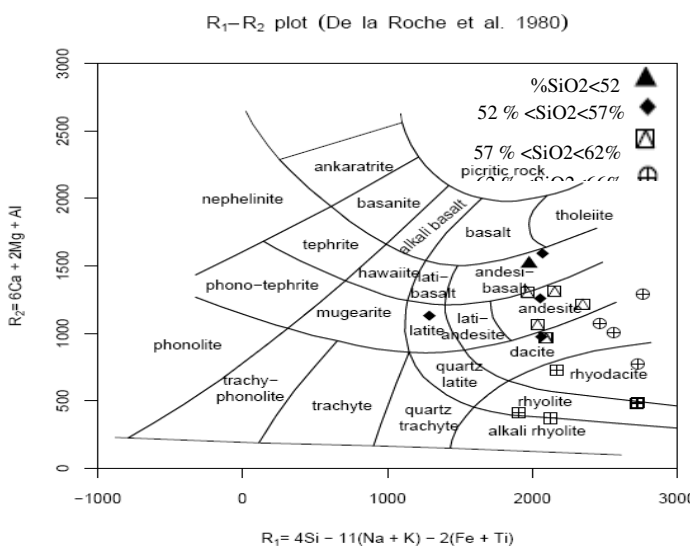
شکل ۳. در این شکل علام و شماره آن‌ها در محیط‌های نرم افزاری GCDkit و minpet که در نمودارهای رئوشیمیایی استفاده شده، نشان داده شده است

برای طبقه‌بندی سنگ‌های آتششانی منطقه آشتیان از نمودارهای مجموع آلکان در مقابل سیلیس [۶]، دولاروش و همکاران [۴]، Zr/TiO<sub>2</sub> [۱۱] استفاده شده است. بر اساس این نمودارها

سنگهای آتشفشاری منطقه آشتیان اغلب از نوع آندزیت بازالتی، آندزیت، تراکی آندزیت، داسیت، ریوداسیت و ریولیت است (شکل‌های ۴، ۵ و ۶).



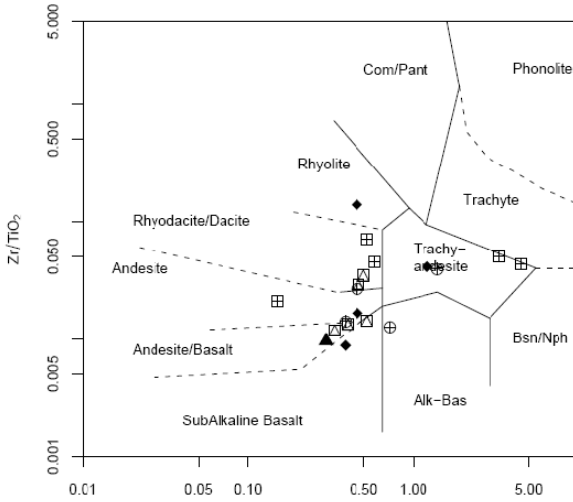
شکل ۴. نمودار مجموع الکان (TAS) در مقابل  $\text{SiO}_2$  [۶] سنگهای آتشفشاری منطقه آشتیان بر اساس این نمودار شامل آندزیت بازالتی، آندزیت، تراکی آندزیت، داسیت و ریولیت هستند



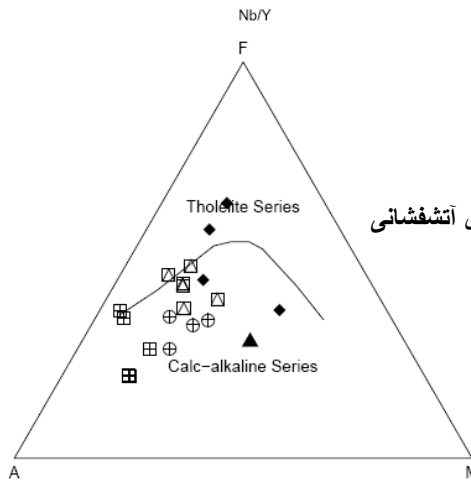
شکل ۵. نمودار دولارش و همکاران [۴] بر طبق این نمودار سنگهای آتشفشاری منطقه آشتیان در محدوده آندزیت بازالتی، آندزیت، لاتیت (تراکی آندزیت)، داسیت، ریوداسیت و ریولیت قرار می‌گیرد

نمودارهای ژئوشیمیایی و پترولوریک، تغییرات عناصر اصلی نسبت به سیلیس، ضریب تفریق و نیز ژئوشیمی عناصر کمیاب بررسی شده‌اند که ارتباط و خویشاوندی را بین ترم‌های مختلف سنگی نشان می‌دهد و بیان‌گر تفریق از طریق تبلور بخشنی است. برای تعیین نوع ماقمای سازنده سنگهای آتشفشاری و ارائه مدل

ژنتیکی از نمودارهای مختلف پترولوری نظیر ایروین و باراگار [۵] و غیره استفاده شده است. براساس نمودارهای فوق ماقمای سازنده سنگ‌های آتشفشاری منطقه آشتیان عمدتاً کالکوآلکالن است. فقط دو نمونه تمایل به تولیتی را از خود نشان می‌دهند (شکل ۷).

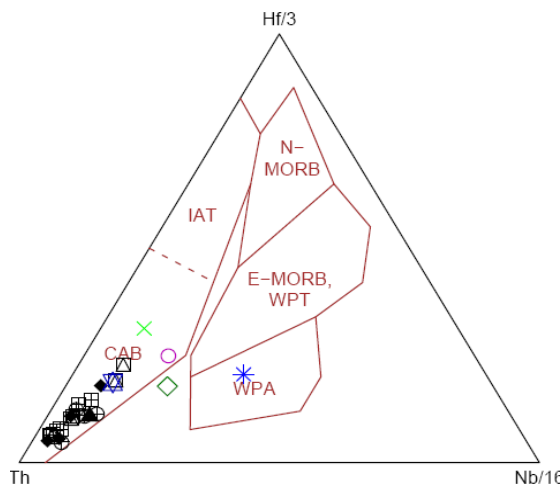
Nb/Y – Zr/TiO<sub>2</sub> plot (Winchester + Floyd 1977)

شکل ۶. نمودار Zr/TiO<sub>2</sub> در مقابل Nb/Y [۱۱] بر مبنای این نمودار سنگ‌های آتشفشاری منطقه آشتیان در قلمرو بازالت ساب آلکالن، آندزیت بازالتی، آندزیت، تراکی آندزیت، داسیت، ریوداسیت و ریولیت قرار گرفته‌اند

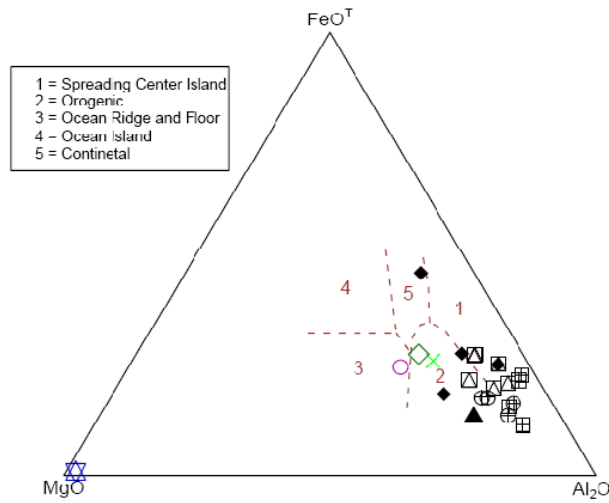


شکل ۷. نمودار AFM [۵] ، بر اساس این نمودار سنگ‌های آتشفشاری منطقه آشتیان از نوع کالکو آلکالن هستند

برای تعیین جایگاه تکتونیکی سنگ‌های ماگمایی با استفاده از عناصر اصلی و کمیاب از نمودارهای مختلف نظیر مولن (۱۹۸۳)، Ti در مقابل Zr (پیرس و گالی، ۱۹۷۷)، MgO-FeOt-Al<sub>2</sub>O<sub>3</sub> (پیرس و کان، ۱۹۷۷)، Th-Hf/3-Nb/16 [۷] و Zr-Ti/100-Y/3 [۱۲] می‌توان استفاده کرد. در این تحقیق از نمودارهای وود [۱۲] و پیرس و کان [۷] استفاده شده است. همگی این نمودارها تعلق این سنگ‌ها به مناطق کوهزایی و حاشیه فعال قاره‌ای را نشان می‌دهند. شکل‌های ۸ و ۹.

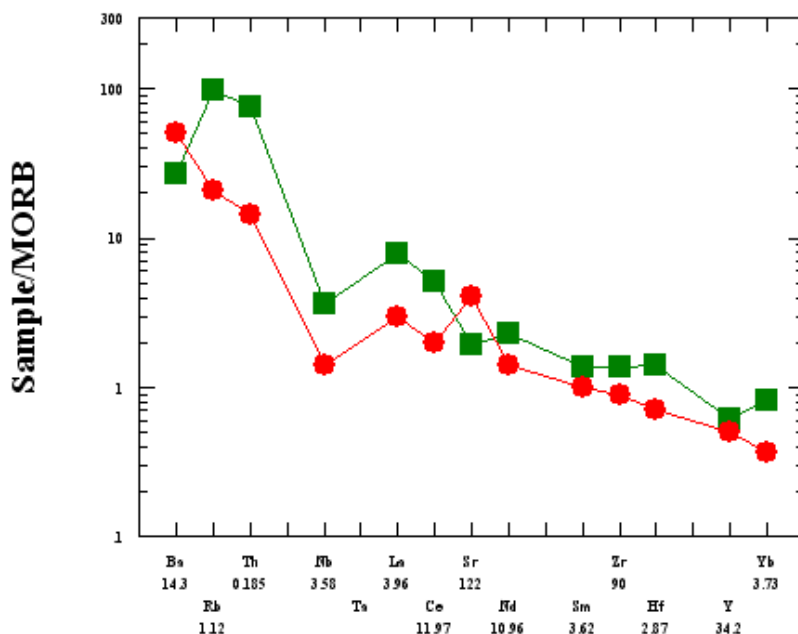


شکل ۸. نمودار تکتونو ماگمایی وود [۱۲]، سنگ‌های آتشفسانی آشتیان در این نمودار در محدوده CAB یا حاشیه مخرب قاره‌ای قرار می‌گیرند. میانگین حدود ۲۰ نمونه از بازالت‌های پالنوزوویک زیرین ایران با علامت ستاره برای مقایسه آورده شده که در موقعیت WPB قرار گرفته است

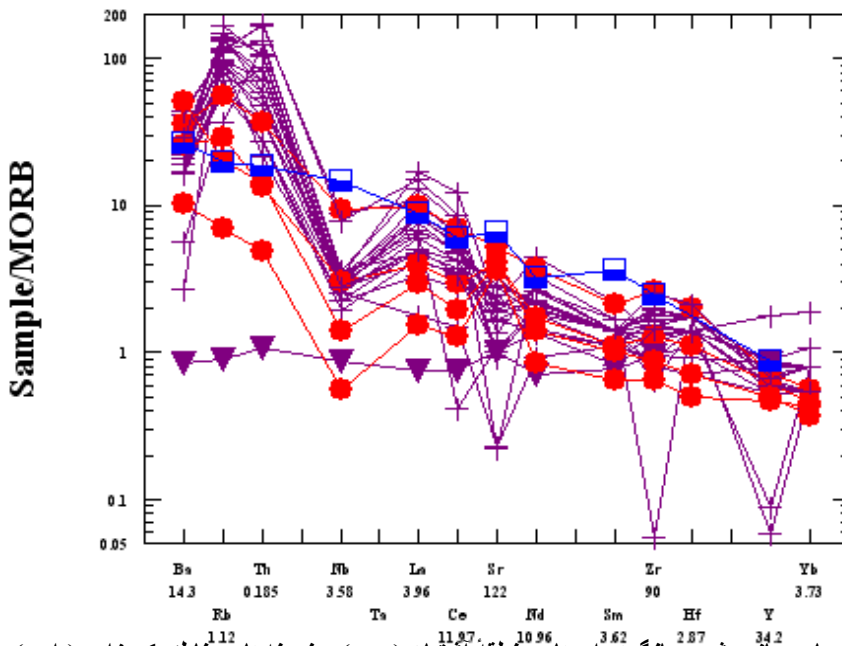


شکل ۹. نمودار تکتونو ماگمایی پیرس و کان [۷]، بر طبق این نمودار سنگ‌های آتشفسانی منطقه آشتیان در قلمرو مناطق کوهزایی قرار می‌گیرند

نمودار الگوی عادی‌سازی شده عناصر کمیاب سنگ‌های آتشفسانی منطقه آشتیان نسبت به مورب نیز ترسیم شده است ([۱۰]، به نقل از [۸]). از جمله بی‌هنجاری‌های موجود در این نمودارها، تهی‌شدگی نیوبیوم است. الگوی نمودار عنکبوتی سنگ‌های آتشفسانی منطقه پژوهش کاملاً با الگوی میله‌ای شکل مربوط به مناطق فرورانش شباخت دارد (شکل‌های ۱۰ و ۱۱). از طرفی بررسی پراکندگی عناصر نادر خاکی تشکیل ماگمای کالکوآکالان سازنده سنگ‌های آتشفسانی را از یک گذار بخشی گوشه‌فوقانی تحت تأثیر آبگیری از لبه پوسته اقیانوسی فروروند پیشنهاد می‌کند.



شکل ۱۰. نمودار عنکبوتی عناصر کمیاب سنگهای آتششانی منطقه آشتیان که نسبت به مورب به هنجر شده‌اند. داده‌های منطقه آشتیان (با علامت +) و آندزیت بازالت‌ها و بازالت‌های کوه‌های آند (با علامت دایره) نسبت به N-type (با علامت مثلث) و Within plate alkali basalt (با مربع نیم پر) الگوی عنکبوتی خاص مناطق کوه‌زای MORB را نشان می‌دهند.



شکل ۱۱. نمودار عادی‌سازی شده میانگین داده‌های منطقه آشتیان (مربع) و نمونه‌های مناطق کوه‌زایی (دایره). چنان که ملاحظه می‌شود الگوی غنی شدگی‌ها و تهی شدگی‌های عنصری منطقه آشتیان نسبت به مورب با الگوی مناطق کوه‌زایی قابل مقایسه است.

## نتیجه‌گیری

بخش اعظم منطقهٔ پژوهش با سنگ‌های آتشفسانی، آذر آواری و به مقدار بسیار کمتر سنگ‌های نفوذی پوشیده شده است. بررسی رخمنون‌های موجود نشان می‌دهد که در منطقهٔ پژوهشی سنگ‌های آتشفسانی قدمی‌تر از تریاس وجود ندارد. بررسی‌های لیتوولوژیک و فسیل‌شناسی نشان می‌دهد که سنگ‌های آتشفسانی متعلق به انوسن (لوتسین میانی تا پایانی) و سنگ‌های نفوذی جوان‌تر است و سنی معادل الیگو-میوسن دارند. توالی ولکانیک و ولکانوکلاستیک با دایک‌های متعدد قطع شده‌اند. این پدیده تزریق ماقماً طی پریودهای مختلف را نشان می‌دهد. از نظر حجمی آندزیت‌های بازالتی کمترین حجم و آندزیت‌ها، تراکی آندزیت‌ها، داسیت‌ها، ریوداسیت‌ها و ریولیت‌ها بیشترین حجم خروجی‌ها را شامل می‌شوند. به عبارتی، برتری حجمی با سنگ‌های اسید و حدواسط است. از سوی دیگر، مقایسهٔ ترکیب شیمیایی سنگ‌های آتشفسانی با معادل‌های درونی آن‌ها را در منطقهٔ پژوهش نشان می‌دهد. این احتمال وجود دارد که سنگ‌های خروجی و معادل‌های نفوذی آن‌ها دارای خاستگاهی مشترک باشند.

شواهد کانی‌شناسی، پتروگرافی، ژئوشیمی و پترولوزیک همگی پدیدهٔ تفریق از طریق تبلور بخشی برای تشکیل سنگ‌های آتشفسانی را نشان می‌دهند. بر اساس نمودارهای مختلف تعیین نوع ماقماً، ماقمای سازنده سنگ‌های آتشفسانی منطقهٔ آشتیان از نوع کالکو‌الکالن هستند. ضمناً نمودارهای مختلف تکتونوماگمایی و الگوی نمودار عنکبوتی تعلق سنگ‌های آتشفسانی منطقهٔ پژوهش به حاشیهٔ فعال قاره نشان می‌دهد. از آنجا که خاستگاه تکتونیکی سنگ‌های آتشفسانی مورد بررسی به نحوی در ارتباط با مناطق فرورانش است، لذا می‌توان منشأ آن‌ها را از ذوب بخش گوشتئهٔ فوکانی متأسوماتیزه با اندکی آلایش پوسته‌ای دانست. برای فهم بیشتر این موضوع نیاز به داده‌های ایزوتوپی است.

## منابع

۱. امامی، محمد هاشم؛ شرح نقشه زمین‌شناسی چهارگوشه قم، سازمان زمین‌شناسی و اکتشافات معدنی کشور (۱۳۷۰).
۲. حاجیان، جواد؛ زمین‌شناسی تفرش، سازمان زمین‌شناسی و اکتشافات معدنی کشور گزارش شماره ۸۲ (۱۳۸۰).
۳. حاجیان، جواد؛ امامی، محمد هاشم؛ شرح نقشه زمین‌شناسی ۱۰۰/۰۰۰/۱۰۱ تفرش، سازمان زمین‌شناسی و اکتشافات معدنی کشور، ورقه شماره ۶۰۵۹ (۱۹۷۰).
4. De La Roche, H., Laterier, J., Grand Claude, P., Marchel, M., A classification of volcania and plutonica rocks using R1-R2 diagrams and major elements. Chem. Geol., 29 (1980) 183-210.
5. Irvine T.N. & Baragar, W. R. A., A guide to the chemical classification of the common volcanic rocks. - Canad. J. Earth Sci., 8 (1971) 523-548.

6. Middlemost E A K, Naming materials in the magma/igneous rock system. Earth-Science Reviews 37 (1994) 215–224.
7. Pearce, J. A., and Can, J.R., Tectonic setting of basic volcanic rocks and determined using trace element analyses, Earth and planet(1984).
8. Rollinson, H.R., Using Geochemical Data: Evaluation, Presentation, Interpretation: London (Longman) (1993).
9. Shelley, David., Igneous and metamorphic rocks under the microscope: classification, textures, microstructures and mineral preferred-orientations. [1st.ed.] London [etc.]: Chapman & Hall, cop (1992).
10. Wilson, M., Igneous Petrogenesis, Global tectonic approach, Unwin Hyman, Inc., London, UK, (1996) 466.
11. Winchester, J. A. & Floyd, P. A., Geochemical discrimination of different magma series and their differentiation products using immobile elements.- Chem. Geol., 20 (1977) 325-343.
12. Wood, D. A., A variably veined suboceanic upper mantle-Genetic significance for mid-ocean ridge basalts from geochemical evidence. Geology 7 (1979) 499-503.
13. Zarasvandi, A., Liaghat, S., Geology of the Darreh-Zerreshk and Ali-Abad Porphyry Copper Deposits, Central Iran, International Geology Review, Volume 47, Number 6 (2005) 640-647.